

PENGGUNAAN METODE FT-IR (*Fourier Transform Infra Red*) UNTUK MENGIDENTIFIKASI GUGUS FUNGSI PADA PROSES PEMBALURAN PENDERITA MIOMA

Siti Silviyah, Chomsin S. Widodo, Masruroh

Jurusan Fisika FMIPA Universitas Brawijaya

Email: silviyahmachfud@gmail.com

Abstrak

Metode balur adalah metode yang berfungsi untuk mengeluarkan racun dari tubuh melalui kulit. Dalam metode pembaluran terdapat empat tahapan yaitu tahap pemberian obat acetosal (AC), benzoquinon (Bq), HUM (Urea), dan kopi. Dalam penelitian ini dilakukan identifikasi gugus fungsi yang terkandung pada obat dan limbah balur yang diduga sebagai zat yang berperan pada penyakit miom.

FT-IR digunakan untuk mengidentifikasi gugus fungsi dan senyawa yang terkandung dalam obat dan limbah balur. Dari hasil karakterisasi menggunakan FT-IR diperoleh hasil sejumlah gugus fungsi yang terdapat pada obat dan limbah balur. Dan tidak ditemukan perbedaan gugus fungsi pada obat dan limbah balur pada penderita miom, sehingga belum dapat ditentukan gugus fungsi yang berperan dalam penyembuhan miom. Namun hasil FT-IR untuk penderita miom menunjukkan terjadinya pergeseran bilangan gelombang yang belum dapat dianalisa.

Kata kunci : Balur, obat dan limbah balur, FT-IR

Abstract

Rubbing method is a method used to remove toxin in the human body through skin. There are four steps of rubbing methods, they are giving acetosal (AC) medicine, benzoquinon (Bq), HUM (Urea), and coffee. The purpose of this research is to identify the functional group of medicine and waste rubbing's, which indicating substance of myoma

FT-IR method is used to identify functional group and compound in medicine and waste rubbing. By using FT-IR, the result showed the amount functional group of the medicine and waste rubbing. On the other hand, there were no differences functional group in medicine and waste rubbing for myoma's patient. In spite of FT-IR's result for myoma's patient showed the wavenumber. But it can't be explained, now further analysis is needed to understand this phenomena.

Keyword: Rubbing, medicine and waste of rubbing, FT-IR Method,

I. PENDAHULUAN

II. Metode pembaluran adalah metode yang berfungsi untuk mengeluarkan racun dari tubuh melalui kulit. Dalam metode pembaluran terdapat empat tahapan yaitu tahap pemberian obat acetosal (AC), benzoquinon (Bq), HUM (Urea), dan kopi. Acetosal mengandung gugus fungsi asam karboksilat dengan rumus molekul $C_9H_8O_4$ yang digunakan sebagai senyawa analgesik (penahan rasa sakit) (Syarif. 2007). Benzoquinon adalah senyawa kimia dengan rumus $C_6H_4O_2$, yang dalam keadaan murni membentuk kristal berwarna kuning cerah dengan karakteristik bau yang kurang enak menyerupai klorin atau pemutih (Miano.

1996). HUM (Urea) adalah senyawa organik yang tersusun dari unsur karbon, hidrogen, oksigen, dan nitrogen dengan rumus CON_2H_4 atau $(NH_2)_2CO$ (Brigen. 2000). Kopi didominasi oleh senyawa alkaloid xantina berbentuk kristal yang memiliki sensasi rasa pahit dengan rumus kimia $C_8H_{10}N_4O_2$ (Moughan. 2003)

III. Metode pembaluran biasanya digunakan untuk pengobatan penderita miom atau mioma. Miom adalah salah satu penyakit sejenis tumor jinak yang ada pada dinding rahim wanita yang tumbuh ketika wanita masih dalam masa produktif. Miom tidak hanya tumbuh satu buah, miom dapat tumbuh

banyak diiap dinding rahim hingga ke selaput dinding rahim wanita. Miom rata-rata berukuran seperti kacang polong dan anggur (*Kurniasari*. 2010). Setiap obat yang digunakan dalam tahap pembaluran memiliki kandungan senyawa yang berbeda. Dengan menggunakan alat FT-IR (*Fourier Transform Infra Red*) akan diketahui senyawa penyusun obat balur serta gugus fungsi mana yang banyak terikat pada tubuh.

IV. FT-IR merupakan salah satu instrumen yang menggunakan prinsip spektroskopi. Spektroskopi adalah spektroskopi inframerah yang dilengkapi dengan transformasi fourier untuk deteksi dan analisis hasil spektrumnya (Anam. 2007). Spektroskopi inframerah berguna untuk identifikasi senyawa organik karena spektrumnya yang sangat kompleks yang terdiri dari banyak puncak-puncak (Chusnul. 2011). Selain itu, masing-masing kelompok fungsional menyerap sinar inframerah pada frekuensi yang unik. Berdasarkan penelitian sebelumnya telah dilakukan untuk mengetahui jenis-jenis gugus fungsi yang dapat mengindikasikan komposisi umum dari obat dan limbah balur (Diena. 2009). Dalam penelitian ini obat balur dan limbah balur diamati dengan menggunakan FT-IR, dengan tujuan untuk mengetahui perbedaan gugus fungsi yang terdapat dalam obat balur dan dan limbah balur pada penderita miom.

V. Tujuan dari penelitian ini adalah mengamati gugus fungsi yang terkandung dalam obat dan limbah balur dengan menggunakan FT-IR dan mengamati perbedaan hasil FT-IR obat dan limbah balur.

VI. Rumusan masalah dari penelitian ini adalah mengidentifikasi gugs fungsi obat dan limbah balur dengan FT-IR dan bagaimana perbedaan hasil FT-IR obat dan limbah balur.

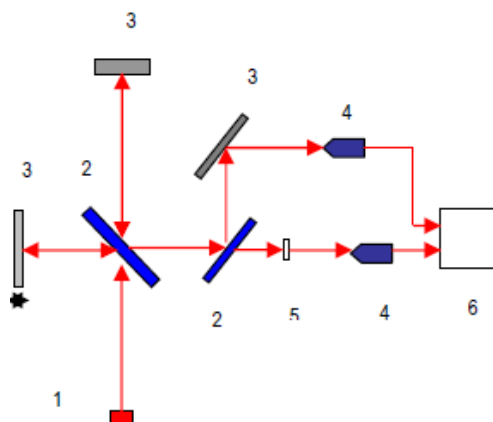
VII. METODE PENELITIAN

VIII. Spektroskopi FT-IR (*Fourier Trasform Infra Red*) merupakan spektroskopi inframerah yang dilengkapi dengan transformasi Fourier untuk deteksi dan analisis hasil spektrumnya. Inti spektroskopi FT-IR adalah interferometer Michelson yaitu alat untuk menganalisis frekuensi dalam sinyal gabungan.

IX. Spektrum inframerah tersebut dihasilkan dari pentrasmision cahaya yang melewati sampel, pengukuran intensitas cahaya dengan detektor dan dibandingkan dengan intensitas tanpa sampel sebagai fungsi panjang gelombang. Spektrum inframerah yang diperoleh kemudian diplot sebagai intensitas fungsi energi, panjang gelombang (μm) atau bilangan gelombang (cm^{-1}) (Marcott (1986) ,Anam (2007)).

X. Skema alat spektroskopi FTIR secara sederhana ditujukan pada gambar 2.1

XI.



XII. **Gambar 2.1** Skema alat spektroskopi FT-IR. (1) Sumber inframerah. (2) Pembagi berkas (*beam splitter*). (3) Kaca pemantul. (4) Sensor inframerah. (5) Sampel. (6) Display (Anam dkk. 2007)

XIII. HASIL DAN PEMBAHASAN

XIV. Identifikasi gugus fungsi pada obat dan limbah balur

XV. Obat dan limbah acetosal (AC)

XVI. Hasil analisa spektroskopi inframerah menunjukkan bahwa pada obat acetosal dan limbah acetosal mengandung serapan gugus fungsi O-H, gugus karbonil C=O, vibrasi gugus C=C, dan ikatan C-O

XVII.

XVIII. . **Tabel 4.1** Data puncak serapan inframerah obat acetosal penderita miom

XIX. Bilanga

n

Gelomb

ang

XX. Tipe

J

vibr

asi

XXII. XXIII.

			I	CXXX.	1550	C	min
CI.	CII.	CIII.	Am	124		a	
3500	N		ina		CXXXV.	CXXXVII.A	
			dan		1300	C	lko
			ami				hol,
			da				eter
			pri			,	
			mer			este	
			(str			r,	
			etc			asa	
			h)			m	
CIV.	CV.	CVI.	CVII.	Me		kar	
292	2970	C		til		bok	
				CH		sila	
				2		t,	
				did		anh	
				uku		idri	
				ng		da	
				den	CXXXVIII.	*Sumber : Pavia	dkk.
				gan	2001		
				serr	CXXXIX.		
				apa	CXL.		
				n	CXLI.		
				145	CXLII.		
				9,0	CXLIII.		
				5	CXLIV.	Tabel 4.3 Data puncak serapan	
						inframerah obat acetosal pasien	
						normal	
CIX.	CX.	CXI.	Alk		CXLV.		
3000	C		ana		CXLVI.	Bi	CXLVIICXLVIII.
			(str			langan	J
			etc			gelom	CXLIX.
			h)			bang	Ti
CXII.	CXIV.	CXV.	CXVI.	Am	CL.	CLI.	
1680	C			ida	Pu	Lite	
CXIII.	CXVIII.	CXIX.	CXX.	Imi	CLIV.	CLVII.	CLVIII.CLIX.
165	1690	C		na		305	Arom
				dan		C	atik
				oxi			(regan
				ma	CLV.		ngan
CXXII.	CXXIIICXXIV.		A		CLVI.		/
1680	C		lka		311		stretc
			na				h)
CXXV.	CXXVI.	CXXVI	CXXVIII.	A	CLXI.	CLXII.	CLXIII.
148	1600	C		ro	240	O	A
				mat			sam
				ik			karbo
CXXIX	CXXXI	CXXXI	CXXXIII.	A			ksilat

310	N	mina dan amid a prime r dan sekun der (regu ngan / <i>stretc h</i>)				sulfo nami de CLXXXVII CLXXXIXC. 100 C	Fluor in
CLXVIII.CLXIX.	CLXX.CLXXI.	A			CXCII.	CXCIV.	CXCV.CXCVI. A
159	155	N	mina dan amid a prime r dan sekun der (beng koka n/ben d)		650 C		lkena (beng koka n kelua r bidan g / <i>out of plane bend</i>)
						CXCIII.	721
CLXXII.	CLXXVI.	CLXXV CLXXVIII.					
CLXXIII.	100	C	Alkohol,			CXCVIII.CXCIXCC.	Arom
CLXXIV.			eter,			690 C	atik
CLXXV.			ester,				(beng koka n kelua r bidan g / <i>out of plane bend</i>)
121			asam		CCII.	CCIII.	CCIV. Klori
			karbo		540 C		n
			ksilat,				
			anhid				
			rida				
CLXXX.	CLXXXII	CLXXXII CLXXXII. A			CCV.		
100	C	mina			CCVI.		
CLXXXIV	CLXXXV	CLXXXVI.			CCVII.	Tabel 4.4	Data puncak serapan inframerah limbah acetosal pasien normal
114	S	Sulfon, sulfo nil klorid a, sulfat ,			CCVIII.	Bila	CCIX. CCX. Ti
						ngan	Jen
						gelomb	pe
						ang	vi
					CCXI.	CCXII.	br
					Pun	Liter	as
					CCXV.	CCXVIII. CCXIX. CCXX.	i
					3200	O-	Alkohol,

CCXVI.		fe		re
CCXVII.		no		tc
338		l		h)
	(b	CCXXIX.	CCXXXI.	CCXXXII
	eri	CCXXX.	2100	C= Alkuna
	ka	213		
	ta		CCXXXV.	CCXXXVI
	n		1940	CXXXVII.
	H		X=	Allena,
	/			ke
	H			te
	-b			na
	o			,
	u			is
	n			os
	de			ia
	d)			na
CCXXII.	CCXXIII.	CCXXIV.		t,
2400	O-	Asam		is
		ka		oti
		rb		os
		ok		ia
		sil		na
		at		t
CCXXVI.	CCXXVII	CCXXVIII.	CCXXXVII	CCXL.
3100	N-	Amina	1600	CCXLI.
		da		CCXLII.
		n	165	
		a		CCXLIV.
		mi		CCXLV.
		da		CCXLVI.
		pr	1630	C=
		im		Amida
		er		
		da	CCXLVIII.	CCXLIX.
		n	CCL.	CCL.
		se	1640	I
		ku		mi
		nd		na
		er		da
		(r		n
		eg		ox
		an		im
		ga		a
		n /	CCLI.	CCLV.
		st	1000	CCLVI.
				CCLVII.
			CCLII.	
				Alkohol,
			CCLIII.	
			CCLIV.	
			124	
				,
				as
				a

			m	bi
			ka	da
			rb	ng
			ok	/
			sil	o
			at,	ut
			an	of
			hi	pl
			dr	a
			id	ne
			a	be
CCLIX.	CCLX.	CCLXI.		n
1000	C-	Amina		d)
CCLXIII.	CCLXIV.	CCLXV.		CCLXXVI CCLXXV CCLXXIX.
1140	S=	Sulfon,	690	C- Aromatik
		su		(b
		lf		en
		on		gk
		il		ok
		kl		an
		or		ke
		id		lu
		a,		ar
		su		bi
		lfa		da
		t,		ng
		su		/
		lf		o
		on		ut
		a		of
		mi		pl
		de		a
CCLXVII.	CCLXVIII	CCLXIX.		ne
1000	C-	Fluorin		be
CCLXX.	CCLXXIII	CCLXXIV		n
CCLXXI.	650	C- Alkena		d)
CCLXXII.		(b		
729,		en		
		gk		
		ok		
		an		
		ke		
		lu		
		ar		
				CCLXXXIV.
				CCLXXXV.
				Dari tabel 4.1 dan 4.2
				menunjukkan adanya perbedaan hasil analisis spektroskopi inframerah. Perbedaan hasil spektrum obat dan limbah acetosal dapat dibandingkan bahwa gugus O-H yang terdapat pada obat dan limbah acetosal pada penderita miom menunjukkan serapan yang sangat panjang dan sangat lebar dan ciri-ciri tersebut merupakan

cirri-ciri dari O-H asam karboksilat. Bergesernya bilangan gelombang (ke kiri) gugus karbonil C=O pada obat acetosal karena atom O terikat langsung pada cincin dan terjadi resonansi antara atom O yang berikatan langsung dengan cincin seperti yang diilustrasikan pada gambar 4.2, sehingga menyebabkan bilangan gelombang melebihi dari 1750 – 1735 cm⁻¹ dan frekuensi bergeser lebih tinggi (Pavia dkk. 2001).



CCLXXXVI.

CCLXXXVII.

CCLXXXVIII.

CCLXXXIX.

CCXC. Gambar 4.2 Atom O yang terikat langsung dengan cincin

CCXCI.

CCXCII.

CCXCIII. Obat dan imbah benzoquinon (Bq)

CCXCIV. Hasil analisa spektroskopi inframerah dalam obat benzoquinon menunjukkan adanya vibrasi O-H, gugus C=O dan vibrasi siklik C=C.

CCXCV. **Tabel 4.5** Data puncak serapan inframerah obat benzoquinon penderita miom

CCXCVI. Bila	CCXCVII	CCXCVIII.
ngan	J	CCXCIX.
gelomb		ipe
ang		vibr
CCC. CCCI.		asi
Pu	Liter	

CCCIV. CCCVI. CCCVII

CCCV. 3400 O lkoh

322

ol/fe

nol

(H-

bou

nde

d)

CCCX. CCCXI

3400 O sam

karb

oksi

lat

CCCXIV. CCCXV

3500 N min

a
dan
ami
da
pri
mer
(str
etch
)

CCCXVII

CCCXVIII. CCCXI

CCXX. A

166 1680 C mid

a
oxi
ma

CCCXXV

CCCXXVI

CCCXXVII. 640 N Amina dan

162 ami

da
pri
mer
(be
nd)

CCCXXXI. CCCXXXII

CCCXXXIII.

1680 C Amida

CCCXXXV

CCCXXXVI

1680 C Alkena

CCCXXXVII

CCCXXXVIII. CCCXICCCXLI. A

832 900 – C rom

atik
(out
of
pla
ne)

CCCXLIII. CCCXLIV

1000 C CXLV. A

lkan
a
(out
of
pla
ne)

CCCXLVI. *Sumber : Pavia dkk.

2001

CCCXLVII.

CCCXLVIII.	Tabel 4.6 Data puncak serapan inframerah limbah benzoquinon penderita miom			dan oxi ma
CCCXLIX.	CCCL.	CCCLI.	T	
Bilangan	J	ipe		
gelombang		vibrasi		
Pu	Litera			
CCCLII. CCCLIII.				
CCCLVI. CCCLVII. CCCLVIII. A				
253	3400	O	sam	
			kar	
			bok	
			silat	
CCCLXI. CCCLXII. CCCLXIII.				
2550	S	Mercaptans		
CCCLXIV. CCCLXVII. CCCLXVIII. CCCLXIX.				ben
CCCLXV 2970	C	Metil	CH ₂	d)
CCCLXVI.			did	
285			uku	
			ng	
			den	
			gan	
			sera	
			pan	
			144	
			1,6	
			9	
CCCLXXI. CCCLXXII. CCCLXXIII.				
2900	C	Aldehid		
CCCLXXV. CCCLXXVI. CCCLXXVII.				
3000	C	Alkana		
			(str	
			etc	
			h)	
CCCLXXVIII. CCCLXXX. CCCLXXXII.				
CCCLXXIX 380	C	Amida		
165				
CCCLXXXIII. CCCLXXXIV. CCCLXXXVI.				
1725	C	Keton		
CCCLXXXV. CCCLXXXVI. CCCLXXXVII.				
1690	C	Imin		
			a	

CCCXCI. CCCXCII. CCCXCIII. CCCXCIV.

892 900 - C Aromatik

(out

of

pla

ne

ben

d)

CCCXCVI. CCCXCVII. CCCXCVIII.

1000 C Alkana

(out

of

pla

ne

ben

d)

CCCXCIX. *Sumber : Pavia dkk.
2001

CD.

CDI.

CDII. **Tabel 4.7** Data puncak serapan inframerah obat benzoquinon pasien normal

CDIII. Bilang CDIV. CDV.
an Jen CDVI. Ti

gelombang pe

ang vib

CDVII. CDVIII. ras

Pun Liter i

CDXI. CDXII. CDXIII. CDXIV.
317 2400 O- Asam

kar

bo

ksi

lat

CDXVI. CDXVII. CDXVIII.
3100 N- Amina

da

n

am

ida

pri

me

r

CDXVII. CDXVIII.

3100 N- Amina

da

n

am

ida

pri

me

r

CDXVIII. CDXVII.

3100 N- Amina

da

n

am

ida

pri

me

r

			da	se
			n	ku
			se	nd
			ku	er
			nd	(be
			er	ng
			(re	ko
			ga	ka
			ng	n/
			an/	be
			str	nd
			etc)
			h)	
CDXIX.	CDXX.	CDXXI.	CDXXII.	CDXL.
215	2100	C=	Alkuna	1000
CDXXIV.	CDXXV.	CDXXVI.		C-
1940	X=	Allena,		Alkohol,
		ket		ete
		en		CDXLI.
		a,		CDXLII.
		iso		CDXLIII.
		sia		128
		nat		
		,		
		iso		
		tio		
		sin		
		at		
CDXXVI	CDXXIX.	CDXXX.	CDXXXI.	CDXLVIII.
CDXXVII	600	C=	Alkena	CDXLIX.
163				CDL.
CDXXXIII	CDXXXI	CDXXXV.		A
1630	C=	Amida		mi
CDXXXVI	CDXXXV	CDXXXIX.		na
1550	N-	Amina	CDLII.	CDLIII.
		da	CDLIV.	Sulfon,
		n		
		am		
		ida		
		pri		
		me		
		r		
		da		
		n		

				de				ksi
CDLVI.	CDLVII.	CDLVIII.						lat
1000	C-	Fluorin					CDLXXXI	CDXCI.
						3100	N-	Amina
CDLIX.	CDLXII.	CDLXIII.	CDLXIV.					da
CDLX.	650	C-	Alkena	(be				n
				ng				am
CDLXI.				ko				ida
774				ka				pri
				n				me
				kel				r
				uar				da
				bid				n
				an				se
				g)				ku
CDLXVI.	CDLXVI	CDLXVIII.						nd
690	C-	Aromatik		(be				er
				ng				(re
				ko				ga
				ka				ng
				n				an/
				kel				str
				uar				etc
				bid				h)
				an				
				g)				
CDLXX.	CDLXXI	CDLXXII.				CDXCII.	CDXCIII.	CDXCIV.CDXCV.
540	C-	Klorin				215	2100	C≡
								Alkuna
CDLXXIII.								
CDLXXIV.								
CDLXXV.	Tabel 4.8	Data puncak serapan						
		inframerah	limbah	benzoquinon				
CDLXXVI.		CDLXXV	CDLXXVIII.					,
Bilangan	Jen	CDLXXIX.						iso
gelomb		Tipe						tio
ang			vib					sin
CDLXXXCDLXXXI.			ras					at
Pun	Liter		i	D.	DII.	DIII.	DIV.	Al
					1600	C=		ke
CDLXXXCDLXXXVCDLXXXCDLXXXVII.				DI.				na
321	2400	O-	Asam	164	DVI.	DVII.	DVIII.	A
			kar			1630	C=	mi
			bo					da

DX.	DXI.	DXII.	A	1140	S=	Sulfon,
1550	N-		mi			sul
			na			fo
			da			nil
			n			klo
			am			rid
			ida			a,
			pri			sul
			me			fat
			r			,
			da			sul
			n			fo
			se			na
			ku			mi
			nd			de
			er	DXXIX.	DXXX.	DXXXI.
			(be	1000	C-	Fluorin
			ng			
			ko	DXXXII.	DXXXV.	DXXXVIDXXXVII.
			ka	DXXXIII.	650	C-
			n/			Alkena
			be	DXXXIV.		(be
			nd	733		ng
)			ko
DXIII.	DXVII.	DXVIII.	DXIX.	Al		ka
	1000	C-		ko		n
DXIV.			hol			kel
			,			uar
DXV.			ete			bid
			r,			an
DXVI.			est	DXXXIX.	DXL.	DXLI.
123			er,	690	C-	Ar
			asa			om
			m			ati
			kar			k
			bo			(be
			ksi			ng
			lat,			ko
			an			ka
			hid			n
			rid			kel
			a			uar
DXXI.	DXXII.	DXXIII.				bid
1000	C-	Amina				an
DXXV.	DXXVI.	DXXVII.		DXLIII.	DXLIV.	DXLV.
				540	C-	Kl
						ori

		n	DLXXI.	DLXXI	DLXXIII. A		
DXLVI.			3400	O	lko hol/ fen ol (H- bou nde d)		
DXLVII.	Dari tabel 4.5 dan 4.6 menunjukkan adanya perbedaan hasil analisa spektroskopi inframerah pada obat dan limbah benzoquinon. Hasil FT-IR pada pada limbah benzoquinon terdapat gugus O-H pada bilangan gelombang 2536,22 menunjukkan serapan O-H asam karboksilat karena memiliki pita serapan yang panjang dan sangat lebar.		DLXXIV.DLXXVI.	DLXXV	DLXXVIII.		
DXLVIII.	Bergesernya bilangan gelombang (ke kanan) vibrasi gugus karbonil C=O pada limbah benzoquinon disebabkan karena gugus C=O terkonjugasi oleh C=C sehingga bilangan gelombangnya bergeser ke yang lebih rendah (Pavia dkk. 2001)		DLXXV. 1680	C	Amida		
DXLIX.			168				
DL. Obat dan limbah HUM (Urea)			DLXXX. 1690	C	min a dan Oxi ma		
DLI.	Hasil analisa spektroskopi inframerah dalam obat dan limbah HUM (urea) menunjukkan pada obat dan limbah HUM (urea) terdapat vibrasi N-H amina primer, gugus C=O, gugus C-N.		DLXXXIV.DLXXXVI.	DLXXXV	DLXXXVI.		
DLII.	Tabel 4.9 Data puncak serapan inframerah obat HUM penderita miom		1680	C	Alkana		
DLIII.	Bilangan n	DLIV. DLV.	DLXXXVII.	C	DXCI. DXCII. A		
		J	1350		min		
	gelombang	DLVI. Tip	DLXXXIX.		a		
		e	115	DXCIV.	DXCV. DXCVI. F		
		vibr	1400	C	luor		
DLVII.	DLVIII.	asi	DXCVIII.	DXCIXDC.	ide		
Pu	Litera		1350	S	Sulf		
DLXI.	DLXIII.	DLXIV.DLXV.	DXCIXDC.	S	one		
	3500	Am	1350		s, sulf		
DLXII.		ina	DLXXXVIII.		onil		
334		dan	1350		klor		
		ami	DLXXXIX.		ida,		
		da	115	DXCIV.	sulf		
		pri	1400	C	at,		
		mer	DXCVIII.	DXCIXDC.	sulf		
		(str	1350	S	ano		
		etch	DLXXXVII.		ami		
		ing)	1350		da		
DLXVII.	DLXVII	DLXIX. A	DLXXXVIII.		DCI. DCII. DCIII. DCIV. Met		
	3400	O	1350	294	2970	C	il
		sam	DLXXXIX.				CH ₂
		kar	115				did
		bok	DLXXXVII.				uku
		silat	115				ng

			den	bou
			gan	nde
			144	d)
			5,80	
DCV.	DCVI.	DCVII. DCVIII.	A	DCXLII. DCXLIV. DCXLVDCXLVI. A
	3100	C	lkan	DCXLIII. 1680 C mid
			a	167 a
DCX.	DCXI.	DCXII.	A	DCXLVIII. DCXLIXDCCL. Imi
3000	C		ldeh	1690 C na
			ida	
DCXIV.	DCXV.	DCXVI.	A	DCLII. DCLIII.DCLIV. A
3400	O		sam	1680 C lkan
			kar	a
			bok	
			silat	DCLV. DCLVIII. DCLIX.DCLX.Am
DCXVII.	*Sumber : Pavia dkk. 2001			1350 C ina
DCXVIII.				DCLVI.
DCXIX.				DCLVII. DCLXII. DCLXIDCLXIV. F
DCXX.	Tabel 4.10 Data puncak serapan inframerah limbah HUM penderita miom			115 1400 C luor ide
DCXXI.	Bila	DCXXIDCXXIII.		DCLXVI. DCLXVDCLXVIII.
	ngan	J	DCXXIV. T	1350 S Sulfones,
	gelomb		ipe	sulf
	ang		vibr	onil
DCXXV. DCXXVI.			asi	klor
Pu	Litera			ida,
DCXXIXDCXXXI.	DCXXXDCXXXIII.			sulf
DCXXX. 3500	N	Amina dan		at,
342			ami	sulf
			da	ano
			pri	ami
			mer	da
		(str		DCLXIX.DCLXXII. DCLXXDCLXXIV.
		etch		DCLXX. 2970 C Metil CH ₂
		ing)		DCLXXI.
DCXXXV. DCXXXDCXXXVII.				292 did
3400	O	Asam		uku
			kar	ng
			bok	den
			silat	gan
DCXXXIX.DCXL. DCXLI.	A			144
3400	O	lko		5,80
		hol/		
		fen		DCLXXVI. DCLXXDCLXXVIII.
		ol		3100 C Alkana
		(H-		
				DCLXXX. DCLXXDCLXXXII.
				3000 C Aldehyda

DCLXXXI.	DCLXX	DCLXXXVI.		216	2100	C≡	Alkuna
3400	O	Asam					
		kar		DCCXII.	DCCXIII.	DCCXIV.	
		bok		1940	X=	Allena,	
		silat				ket	
DCLXXXVII.	*Sumber :	Pavia	dkk.			en	
	2001					a,	
DCLXXXVIII.						iso	
DCLXXXIX.						sia	
DCXC.	Tabel 4.11	Data puncak serapan				nat	
		inframerah obat HUM pasien normal				,	
DCXCI.	Bil	DCXCII.	DCXCIII.			iso	
	angan	Jen				tio	
	gelomb		DCXCIV.			sin	
	ang		Tipe			at	
DCXCV.	DCXCVI.		vib			DCCXV.	DCCXVII.
Pun	Liter		ras	DCCXVI.	DCCXVII.	DCCXVIII.	DCCXIX.
			i	1600	C=	Alkena	
DCXCIX.	DCC.	DCCI.	DCCII.	160			
320	2400	O-	As		DCCXXI.	DCCXXI	DCCXXIII.
			am		1630	C=	Amida
			kar				
			bo	DCCXXV.	DCCXXV	DCCXXVII.	
			ksi	1550	N-	Amina	
			lat				
DCCIV.	DCCV.	DCCVI.				da	
3100	N-	Amina				n	
			da			am	
			n			ida	
			am			pri	
			ida			me	
			pri			r	
			me			da	
			r			n	
			da			se	
			n			ku	
			se			nd	
			ku			er	
			nd			(be	
			er			ng	
			(re			ko	
			ga			ka	
			ng			n/	
			an/			be	
			str			nd	
			etc)	
			h)		DCCXXVII.	DCCXXXII.	DCCXXXIII.
DCCVII.	DCCVIII.	DCCIX.	DCCX.	DCCXXIX000	C-	Alkohol,	

DCCXXX.		ete		an
DCCXXXI.		r,		g)
116		est	DCCLIV.	DCCLV.
		er,	690	DCCLVI.
		asa	C-	Aromatik
		m		(be
		kar		ng
		bo		ko
		ksi		ka
		lat,		n
		an		kel
		hid		uar
		rid		bid
		a		an
DCCXXXV	DCCXXX	DCCXXXVIII.	DCCLVIII.	DCCLIX.
1000	C-	Amina	540	DCCLX.
DCCXL.	DCCXLI.	DCCXLII.	DCCLXI.	
1140	S=	Sulfon,	DCCLXII.	
		sul	DCCLXIII.	Tabel 4.12 Data puncak
		fo		serapan inframerah limbah HUM
		nil		pasiens normal
		klo	DCCLXIV.	DCCLXVDCCLXVI.
		rid	Bilangan	Jen Tipe
		a,		gelomb
		sul		vi
		fat		ang
		,	DCCLXVI	br
		sul	DCCLXVIII.	as
		fo	Pun Liter	i
		na		
		mi	DCCLXXIDCCLXXI	
		de	DCCLXXII	
DCCXLIV	DCCXLV	DCCXLVI.	DCCLXXIII.	O- Alkohol,
1000	C-	Fluorin	322	fe
DCCXLVIDCCL.	DCCLI.	DCCLII.		no
DCCXLV	650	C-		l
746		Alkena		(b
DCCXLIX.		(be		eri
		ng		ka
		ko		ta
		ka		n
		n		H
		kel		/
		uar		H
		bid		-b
				o
				u
				n
				de

d)

DCCLXXVIIICLXXIXCLXXX.

2400 O- Asam

ka

rb

ok

sil

at

DCCLXXXIIDCLXXIXCLXXXIV.

3100 N- Amina

da

n

a

mi

da

pr

im

er

da

n

se

ku

nd

er

(r

eg

an

ga

n /

st

re

tc

h)

DCCLXXIIDCLXXIXCLXXIXCLXXXIX.

DCCLXXXMIO C= Alkuna

217

DCCXCI. DCCXCIIDCCXCIII.

1940 X= Allen,

ke

te

na

,

is

os

ia

na

t,

is

oti

os

ia

na

t

DCCXCIVDCCXCVIDCCXCVIDCCXCVIII.

DCCXCV. 1600 C= Alkena

161

DCCC. DCCCI. DCCCII.

1550 N- Amina

da

n

a

mi

da

pr

im

er

da

n

se

ku

nd

er

(b

en

gk

ok

an

/

be

n

d)

DCCCIV. DCCCVIIDCCCIIDCCCX.

DCCCV. 1000 C- Alkohol,

DCCCVI.

DCCCVII.

119

es

ter

,

as

a

m

ka	da
rb	ng
ok	/
sil	<i>o</i>
at,	<i>ut</i>
an	<i>of</i>
hi	<i>pl</i>
dr	<i>a</i>
id	<i>ne</i>
a	<i>be</i>

DCCCXII.DCCCXII.DCCCXIV.

1000 C- Amina

DCCCXVIDCCCXV.DCCCXVIII.

1140 S= Sulfon,
 su
 lf
 on
 il
 kl
 or
 id
 a,
 su
 lfa
 t,
 su
 lf
 on
 a
 mi
 de

DCCCXX.DCCCXX.DCCCXXII.

1000 C- Fluorin

DCCCXXIDCCCXXV.DCCCXXDCCCXXVIII.

DCCCXXBZ0 C- Alkena

DCCCXXV.
 723,
 en
 gk
 ok
 an
 ke
 lu
 ar
 bi

DCCCXXXDCCCXXDCCCXXXII.

690 C- Aromatik
 (b)
 en
 gk
 ok
 an
 ke
 lu
 ar
 bi
 da
 ng
 /
 o
 ut
 of
 pl
 a
 ne
 be
 n
 d)

DCCCXXXDCCCXXDCCCXXXVI.

540 C- Klorin

DCCCXXXVII.

DCCCXXXVIII. Vibrasi N-H
 untuk obat dan limbah HUM (urea) penderita
 miom (tabel 4.9 an 4.10) merupakan vibrasi N-H
 amina primer karena amina primer memiliki
 ciri-ciri dua pita (puncak) serapan dan berada
 pada daerah bilangan gelombang 3500 – 3300
 cm^{-1} (Pavia dkk. 2001)

DCCCXXXIX.

DCCCXL.	Obat dan limbah kopi	(be nd)
DCCCXLI.	Hasil spektroskopi inframerah pada obat dan limbah kopi menunjukkan gugus fungsi C=O, gugus C=N, dan gugus C-N.	DCCCLXXDCCCLXXXI
DCCCXLII.	Tabel 4.13 Data puncak serapan inframerah obat kopi penderita miom	1680 C Amida
DCCCXLIII.	DCCCXIV	DCCCLXXDCCCLXXXIV.
Bilangan	J Tipe	1680 C Alkena
gelomba	vibr	DCCCLXIXCLXXDCCCLXXXVIII.
ng	asi	294 2970 C Metil CH ₂
DCCXLVI	DCCXLVII.	DCCCXC. DCCCXIV
Pun	Litera	3000 C Alcohol, este
DCCCL.	DCCCLI.	r, eter
338	3400 O Asam	,
		asa
		m
		kar
		bok
		sila
		t
DCCCLV.	DCCCLVI	DCCCLVII.
3400	O Alcohol/fe	3400 O sila
	nol	t
	(H-	
	bou	
	nde	
	d)	
DCCCLIX.	DCCCLIX	DCCCLXCI
3500	C Amina dan	1350 C Amina
	ami	
	da	
	pri	
	mer	
DCCCLXID	CCCLXVDCCCLXVIII.	DCCCXCV
DCCCLXII	1725 C Keton	1300 C Alc
DCCCLXIV.		oho
DCCCLXY	DCCCLXXDCCCLXXII.	l,
164	1690 C Imina dan	este
	oxi	r,
	ma	eter
DCCCLXXDCCCLXXVI.		,
1640	N Amina dan	asa
	ami	m
	da	kar
	pri	bok
	mer	sila
		t,
		anh
		idri
		d
CMI.	*Sumber : Pavia dkk. 2001	
CMII.		
CMIII.	Tabel 4.14 Data puncak serapan inframerah limbah kopi penderita miom	

CMIV.				1680	C	mid
CMV. Bilanga	CMVI. CMVII.	T			a	
n	J	ipe		CMXLIV.	CMXLIV	CMXLVI. A
gelomba		vibr		1680	C	lke
ng		asi				na
CMVIII. CMIX.				CMXLVIIICMXLVIII.	CMXLIX	CMXL. Met
Pun	Litera			292	2970	C il
						CH
CMXII. CMXIII.	CMXIVCMXV.	A				
344	3400	O	sam	CMLII.	CMLIIICMLIV.	A ²
			kar	3000	C	lco
			bok			hol,
			sila			este
			t			r,
CMXVII. CMXVIMXIX.	A					eter
3400	O	lco				,
		hol/				asa
		fen				m
		ol				kar
		(H-				bok
		bou				sila
		nde				t
		d)		CMLV.	CMLVI.	CMLVICMLVIII. A
CMXXI. CMXXIICMXXXIII.	A			127	1350	C min
3500	C	min				a
		a		CMLX.	CMLXICMLXII.	A
		dan		1300	C	lco
		ami				hol,
		da				este
		pri				r,
		mer				eter
CMXXIV. CMXXVIII. CMXXIX	CMXXX. K					,
CMXXV. 1725	C	eto				asa
CMXXVI.		n				m
CMXXVII.	CMXXXII. CMXXXK	CMXXXIV.				kar
165	1690	C	Imina dan			bok
			oxi			sila
			ma			t,
CMXXXVICMXXXK	CMXXXVIII.					anh
1640	N	Amina dan				idri
		ami				d
		da		CMLXIII.		
		pri		CMLXIV.	Tabel 4.14	Data puncak serapan
		mer				inframerah obat kopi pasien normal
		(be		CMLXV.	Bil	CMLVICMLXVII.
		nd)				
CMXL.	CMXLICMXLII.	A			angan	Jen
					gelomb	Tipe
						vi

ang		br		/
CMLXVII	MLXIX.	asi		str
Pun	Liter			et
				ch
)
CMLXXI	CMLXXV.	CMLXXVI	CMLXXVII.	
CMLXXIII. ³²⁰⁰	O-	Alkohol,		CMLXXXIX
		fe		CMLXXXVIII
CMLXXIV.		no		CMLXXXVII.
320		l	214	2100
		(b		C=
		eri		Alkuna
		kat		214
		an		CMXCII.
		H/		CMXCIII
		H-		CMXCIV.
		bo		
		un		
		de		
		d)		
CMLXXIX	CMLXXX	CMLXXXI.		sin
2400	O-	Asam		at
		ka	CMXCV.	CMXCVII.
		rb	CMXCVI.	CMXCVIII.
		ok	1600	C=
		sil	164	Alkena
		at		
			MI.	MII.
			1630	MIII.
				A
				mi
CMLXXXII	CMLXXXIII	CMLXXXV.		da
3100	N-	Amina		
		da	MV.	MVI.
		n	1640	MVII.
		am		Im
		ida		
		pri		
		me		
		r	MVIII.	MXII.
		da		MXIII.
		n	1000	MXIV.
		se		Al
		ku		
		nd	MIX.	
		er		
		(re	MX.	
		ga		
		ng	MXI.	
		an	127	

ka	MXVI.	MXVII.	MXVIII.
rb	1000	C-	Amina
ok			
sil			
at,			
an			
hi			
dri			
da			

MXX.	MXXI.	MXXII.		gk
1140	S=	Sulfon,		ok
		sul		an
		fo		kel
		nil		ua
		kl		r
		ori		bi
		da,		da
		sul		ng
		fat		/
		,		MXXXVII.
		sul		<i>out-of-pla</i>
		fo		<i>ne</i>
		na		<i>be</i>
		mi		<i>nd</i>
		de)
MXXIV.	MXXV.	MXXVI.		
1000	C-	Florin		
			MXXXIX.	MXL.
			540	C-
				MXLI. Kl
				ori
				n
MXXVII.	MXXX.	MXXXI.	MXXXII.	MXLII.
MXXVIII. ⁶⁵⁰		C-	Alkena	MXLIII. Tabel 4.15 Data puncak serapan
			(b	inframerah limbah kopi pasien normal
MXXIX.			en	MXLIV. Bil
756			gk	MXLV. MXLVI.
			ok	angan Jen Tipe
			an	gelomb vi
			kel	ang br
			ua	MXLVII. MXLVIII.
			r	Pun Liter asi
			bi	
			da	MLI. MLIII. MLIV. MLV. Al
			ng	3200 O- ko
			/	MLII. ho
			ou	321 l,
			t-o	fe
			f-p	no
			la	l
			ne	(b
			be	eri
			nd	kat
)	an
MXXXIV.	MXXXV.	MXXXVI.		H/
690	C-	Aromatik		H-
		(b		bo
		en		un

			<i>de</i>	iso
			<i>d)</i>	tio
MLVII.	MLVIII.	MLIX. As		sin
2400	O-	am		at
		ka	MLXXIII	MLXXV. MLXXVIMLXXVII.
		rb	MLXXIV. ¹⁶⁰⁰	C= Alkena
		ok	163	
		sil		MLXXIX. MLXXX. MLXXXI.
		at	1630	C= Amida
MLXI.	MLXII.	MLXIII.		
3100	N-	Amina	MLXXXII	MLXXXI
		da	1550	N- Amina
		n		da
		am		n
		ida		am
		pri		ida
		me		pri
		r		me
		da		r
		n		da
		se		n
		ku		se
		nd		ku
		er		nd
		(re		er
		ga		(b
		ng		en
		an		gk
		/		ok
		<i>str</i>		an
		<i>et</i>		/
		<i>ch</i>		<i>be</i>
)		<i>nd</i>
MLXIV.	MLXVI.	MLXVII. MLXVIII.)
MLXV.	2100	C= Alkuna	MLXXXV	MXCI. MXCII.
215			1000	C- Alkohol,
MLXX.	MLXXI.	MLXXII.	MLXXXVII.	ete
1940	X=	Allena,	MLXXXVIII.	r,
		ket	MLXXXIX.	est
		en	123	er,
		a,		as
		iso		am
		sia		ka
		nat		rb
		,		ok

sil	MXCIV.	MXCV.	MXCVI.
at,	1000	C-	Amina
an			
hi			
dri			
da			

				Su	(b
1140	S=		lfo	en	
			n,	gk	
			sul	ok	
			fo	an	
			nil	kel	
			kl	ua	
			ori	r	
			da,	bi	
			sul	da	
			fat	ng	
			,	/	
			sul	MCXV.	
			fo	<i>out-of-pla</i>	
			na	<i>ne</i>	
			mi	<i>be</i>	
			de	<i>nd</i>	
MCII.	MCIII.	MCIV.	Fl)
1000	C-		ori		
			n	MCXVII.	MCXVIIIMCXIX.
MCV.	MCVIII.	MCIX.	MCX.	Al	
650	C-		ke	540	C-
MCVI.			na		Klorin
			(b		
MCVII.			en		
749			gk		
			ok		
			an		
			kel		
			ua		
			r		
			bi		
			da		
			ng		
			/		
			ou		
			t-o		
			f-p		
			la		
			ne		
			be		
			nd		
)		
MCXII.	MCXIII.	MCXIV.			
690	C-		Aromatik		

MCXXI. Bergesernya bilangan gelombang (ke kanan) vibrasi gugus karbonil C=O pada obat kopi penderita miom disebabkan karena gugus C=O terkonjugasi oleh C=C sehingga bilangan gelombangnya bergeser ke yang lebih rendah (Pavia dkk. 2001)

MCXXII.

MCXXIII.

MCXXIV. SIMPULAN

MCXXV. Hasil penelitian yang didapatkan dapat disimpulkan bahwa hasil identifikasi gugus fungsi pada obat dan limbah balur penderita miom dan pasien normal terdapat persamaan kandungan gugus fungsi yang terdapat pada obat dan limbah balur. Sehingga belum dapat ditentukan gugus fungsi yang berperan dalam menyembuhkan miom karena tidak terdapat perbedaan gugus fungsi pada obat maupun limbah penderita miom dan pasien normal. Namun hasil FT-IR untuk penderita miom menunjukkan terjadinya pergeseran bilangan gelombang yang belum dapat dianalisa.

MCXXVI.

MCXXVII. DAFTAR PUSTAKA

MCXXVIII. Anonymous. 2006. SVG
Converasian diakses tanggal 20 Mei 2014

- MCXXIX. Anonymous. 2007. SVG Converassion diakses tanggal 20 Mei 2014
- MCXXX. Agustiani Dewi, Andina. 2009. Penentuan Struktur Kristal Limbah Balur Dengan Teknik Difraksi Sinar-X [Skripsi]
- MCXXXI. Anam, Choirul. Sirojudin dkk. April 2007. Analisis Gugus Fungsi Pada Sampel Uji, Bensin Dan Spiritus Menggunakan Metode Spektroskopi FT-IR. *Berkala Fisika*. Vol 10 no.1. 79 – 85
- MCXXXII. Ben. Mills. 2006. Structural Formula of Urea
- MCXXXIII. Brady E. James. . *Kimia Universitas Asas Dan Struktur Jilid 1*. Tangerang: Binarupa Aksara Publisher
- MCXXXIV. Bridgen K. dan Stringer. 2000. Ammonia and Urea Production
- MCXXXV. Chang, Raymond. 2010. Chemistry Edition 10th. Mc Graw Hill: New York
- MCXXXVI. Chusnul. 2011. Spektroskopi IR. www. Scribd.com diakses tanggal 27 Desember 2013
- MCXXXVII. Daniel. Saleh, Chairul Dan Hanel, Sujudi. Oktober 2011. Sintesis 2-Hidroksi-N-Fenil-Benzena Melalui Esterifikasi Asam Salisilat Dilanjutkan Proses Amidasi Dengan Fenilamina.
- MCXXXVIII. Ismah. Djuraidah, Anik dkk. April 2009. Pendekatan Regresi Kuadrat Terkecil Partial Robust Dalam Model Kalibrasi. *Forum Statistika dan Komputasi*. Vol 14 no.1. 34 – 41
- MCXXXIX. Kurniasari, Tri. 2010. Karakteristik Mioma Uteri Di RSUD Dr. Moewardi Surakarta Periode Januari 2009 – Januari 2010 [Skripsi]
- MCXL. Maughan, R.J; Griffin J. 2003. Caffein ingestion and Fluid Balance a Review. *J Human Nutrition Dietetics* Vol 16: 411-23
- MCCLI.
- MCLII.
- MCXLI. Miyano S. dkk. 1996. Preparationand Pharmalogical Evaluation of (1,4 Benzoquinon-2-4) -1,2,3,4-tetrahydrona phtalenes as potent cerebral protective agents. Vol 44 no.1. 132-8
- MCXLII. Monruw. 2013. Monruw.wordpress.com
- MCXLIII. Nugroho, Wahyu Dwi. 2011. Studi Yttrium Sebagai Katalis Pada Reaksi Metanolisis Urea Membentuk Metil Karbamat. [Skripsi]
- MCXLIV. Pavia L. Donald, Lampman M. Gary, Kriz S. George. 2001. *Introduction to Spectroscopy, third edition*. Australia: Thomson Learning, Inc
- MCXLV. Purnomo, Edi Sri. 2010. Pembuatan Arang Aktif Dari Kulit Biji Kopi Dan Aplikasinya Sebagai Adsorben Zat Warna Methylene Blue (Kation) Dan Naphtol Yellow Anion. [Skripsi]
- MCXLVI. Pratiwi, Lili. Suparman, Eddy dkk. Maret 2013. Hubungan Usia Reproduksi Dengan Kejadian Mioma Uteri Di RSUP. Prof. DR. R.D. Kandou Manado. *Jurnal e-CliniC (eCl)*. Vol 1 no.1. 26 - 30
- MCXLVII. Suseno E. Jatmiko, Firdausi SK. Januari 2008. Rancang Bangun Spektroskopi FT-IR (*Fourier Transform Infrared*) Untuk Penentuan Kualitas Susu Sapi. *Berkala Fisika*. Vol 11 no.1. 23 – 28
- MCXLVIII. Syarif, Amir. 2007. Farmakologi Dan Terapi. Departemen Farmakologi dan Trapetik: Jakarta
- MCXLIX. Wachidah, Qonita. Aditiyono dkk. September 2011. Hubungan Hiperplasia Endometrium Dengan Mioma Uteri: Studi Kasus Pada Pasien Ginekologi RSUD Prof. Dr. Margono Soekardjo Purwokerto. *Mandala Of Health*. Vol 5 no.3
- MCL. Yanuarieta, Diena. 2009. Studi Komposisi Limbah Hasil Proses Terapi Pembaluran Dengan Analisis Puncak Spektrum Inframerah [Skripsi]

MCLIII.